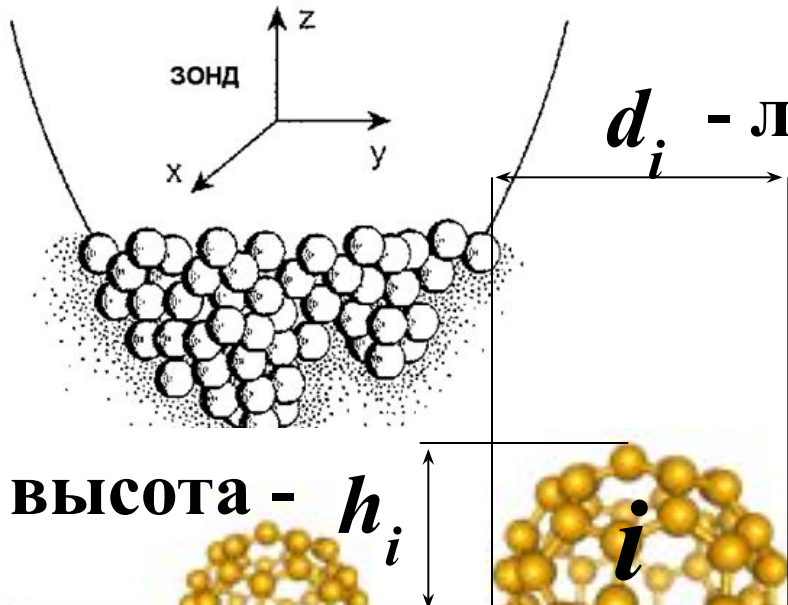


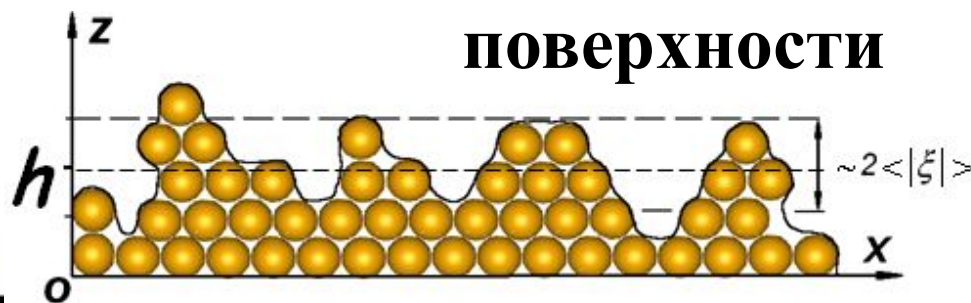
Лекция 11 Сканирующая туннельная микроскопия. Определение формы нанокластеров. Фрактальная размерность. Зависимость туннельного тока от расстояния между зондом и образцом. Определение локальной работы выхода образца.



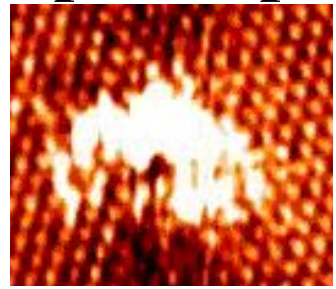
ПОДЛОЖКА

$$\langle d \rangle = \frac{\sum_{i=1}^N d_i}{N} \quad \langle h \rangle = \frac{\sum_{i=1}^N h_i}{N}$$

$\langle \xi^2 \rangle$ - шероховатость поверхности



D - шероховатость периметра



Одним из способов описания нерегулярной структуры физических объектов является определение фрактальной размерности их границы

Согласно Мандельброту, фракталом называется структура, в которой один и тот же фрагмент повторяется при любом уменьшении масштаба. Существуют различные формулировки размерности Хаусдорфа-Безиковича, характеризующей фракталы. В частности, фрактальную размерность D множества можно определить как критическое значение показателя d в выражении меры множества M_d , при котором она изменяет свое значение с нуля на бесконечность:

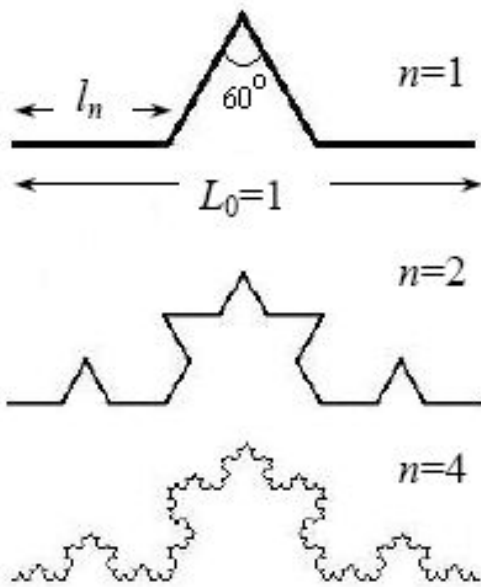
$$M_d = \gamma(d)N(\delta)\delta^d \xrightarrow{\delta \rightarrow 0} \begin{cases} 0 & \text{при } d > D \\ \infty & \text{при } d < D \end{cases}$$

Мерой кривой является ее длина L , которая определяется как предел произведения числа N прямолинейных отрезков, уместяющихся на кривой, на длину такого отрезка δ при ее стремлении к нулю. Для фрактальной размерности следует соотношение:

$$D = \lim_{\delta \rightarrow 0} \frac{\ln N}{\ln(1/\delta)}$$

Кривая Коха - один из стандартных примеров фрактальной кривой.

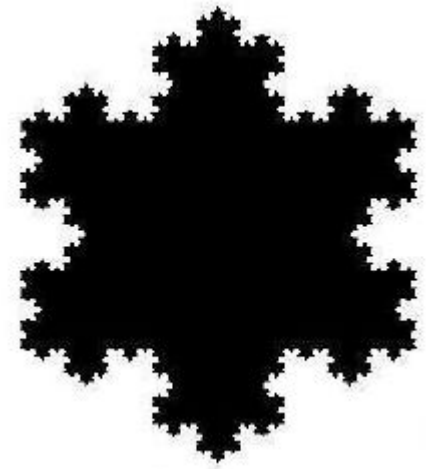
Построение кривой начинается с прямолинейного отрезка единичной длины. Этот исходный отрезок может быть заменен каким-нибудь многоугольником, например, равносторонним треугольником, квадратом. Построение кривой Кох продолжается заменой каждого звена образующим элементом. В результате такой замены для триадной кривой Кох получается: первое поколение — кривая из $N=4$ прямолинейных звеньев, каждое длиной $\delta=1/3$. Следующее поколение получается при замене каждого прямолинейного звена уменьшенным образующим элементом. Кривая n -го поколения состоит из 4^n звеньев длиной 3^{-n} , с фрактальной размерностью



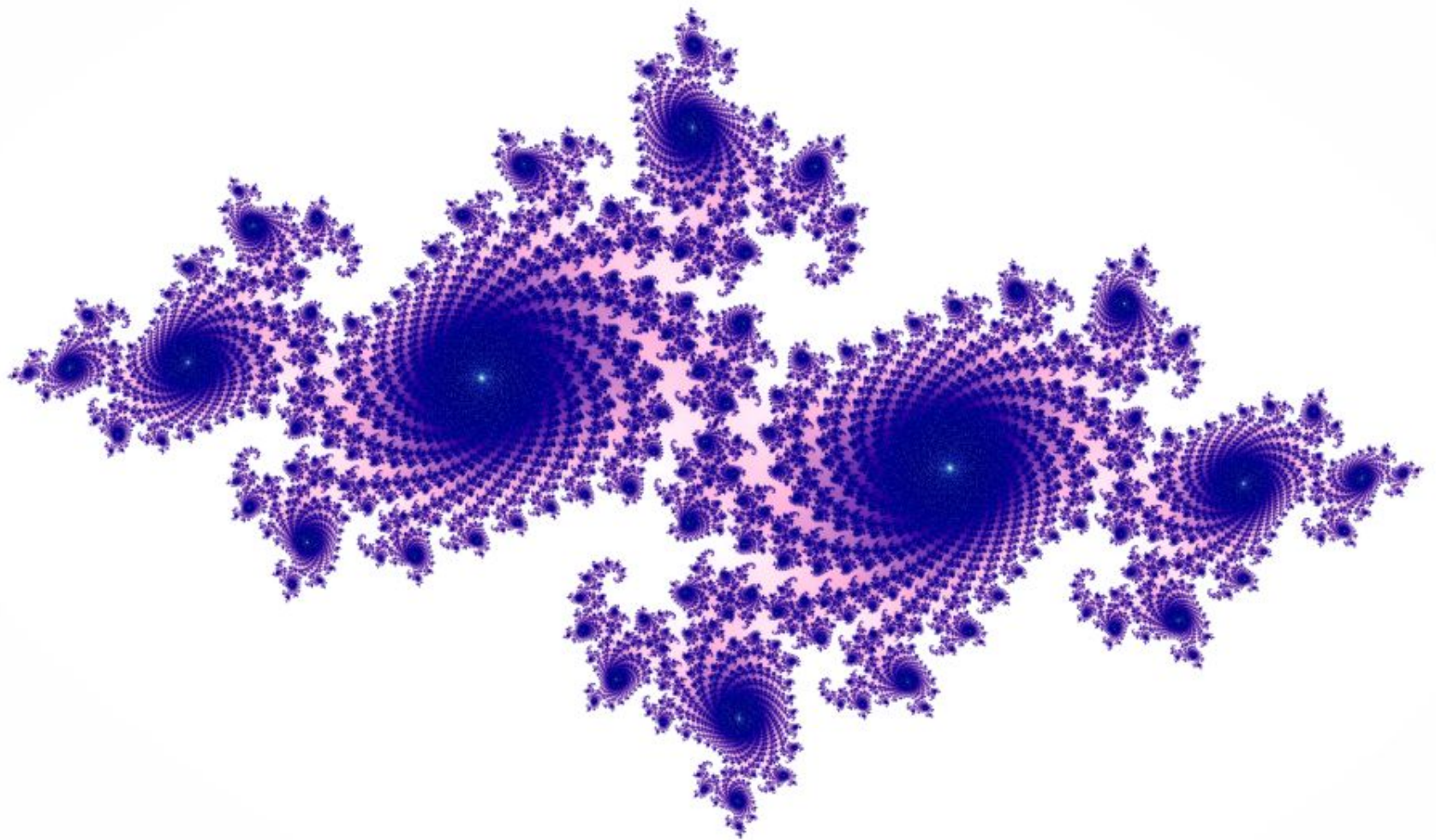
$$D = \lim_{\delta \rightarrow 0} \frac{\ln N}{\ln(1/\delta)}$$

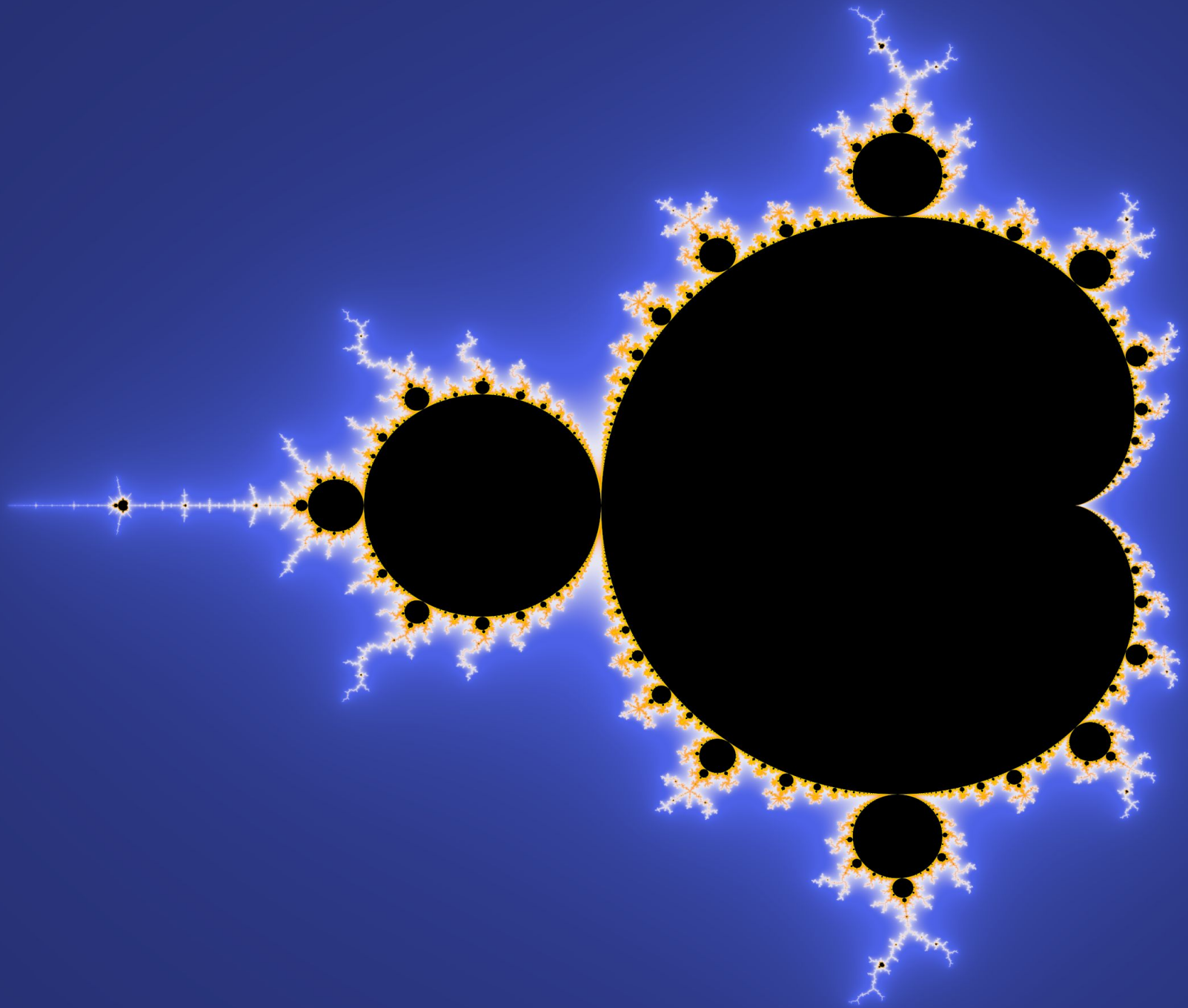
$$N = 4^n \quad \delta = 3^{-n}$$

$$D = \ln 4 / \ln 3 \approx 1.26$$



Снежинка Коха





Основные алгоритмы нахождения фрактальной размерности:

• алгоритм Ричардсона (измерение длины береговой линии)

Алгоритм Ричардсона основан на измерении периметра (границы) исследуемого объекта L линейкой длины δ . Изменяя длину линейки δ , получаем серию значений периметра $L(\delta)$. По мере уменьшения значения δ измеренная длина границы фрактального объекта увеличивается, поскольку становится возможным измерить более мелкие детали границы. Строя в двойном логарифмическом масштабе $\ln(L)$ как функцию $\ln(\delta)$ и аппроксимируя ее линейной зависимостью, из тангенса угла наклона m находим значение фрактальной размерности границы объекта $D=1-m$, что следует из непосредственного определения фрактальной размерности:

$$D = \lim \frac{\ln N}{\ln(1/\delta)} = 1 - \lim \frac{\ln N\delta}{\ln \delta} = 1 - \lim \frac{\ln L}{\ln \delta} = 1 - m$$

Данный алгоритм применим для анализа изображения единичного объекта с развитой структурой границы. Поскольку впервые он был применен для измерения длины береговой линии побережья Норвегии, то он также называется алгоритмом «измерения береговой линии».

• алгоритм озер (измерение площади и периметра объектов)

Алгоритм озер основан на определении соотношения между площадью S и периметром p исследуемого объекта. В общем случае это соотношение представляется в виде:

$$S = \mu(D)p^v$$

где $\mu(D)$ – величина, определяемая формой объекта, $v=2/D$ – показатель, D – фрактальная размерность границы. Построение зависимости $\ln(S)$ от $\ln(p)$ позволяет получить значение размерности исследуемых кластеров. В случае гладкой границы исследуемых объектов $D=1$ ($S \sim p^2$). Существенным отличием данного алгоритма от алгоритма Ричардсона является то, что его невозможно использовать для определения фрактальной размерности единичного объекта.

Примеры нанокластеров металла фрактальной формы

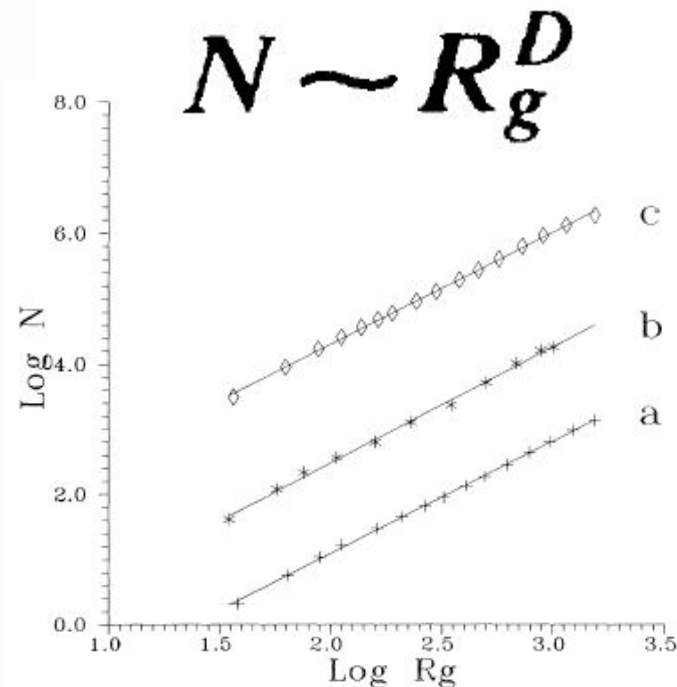
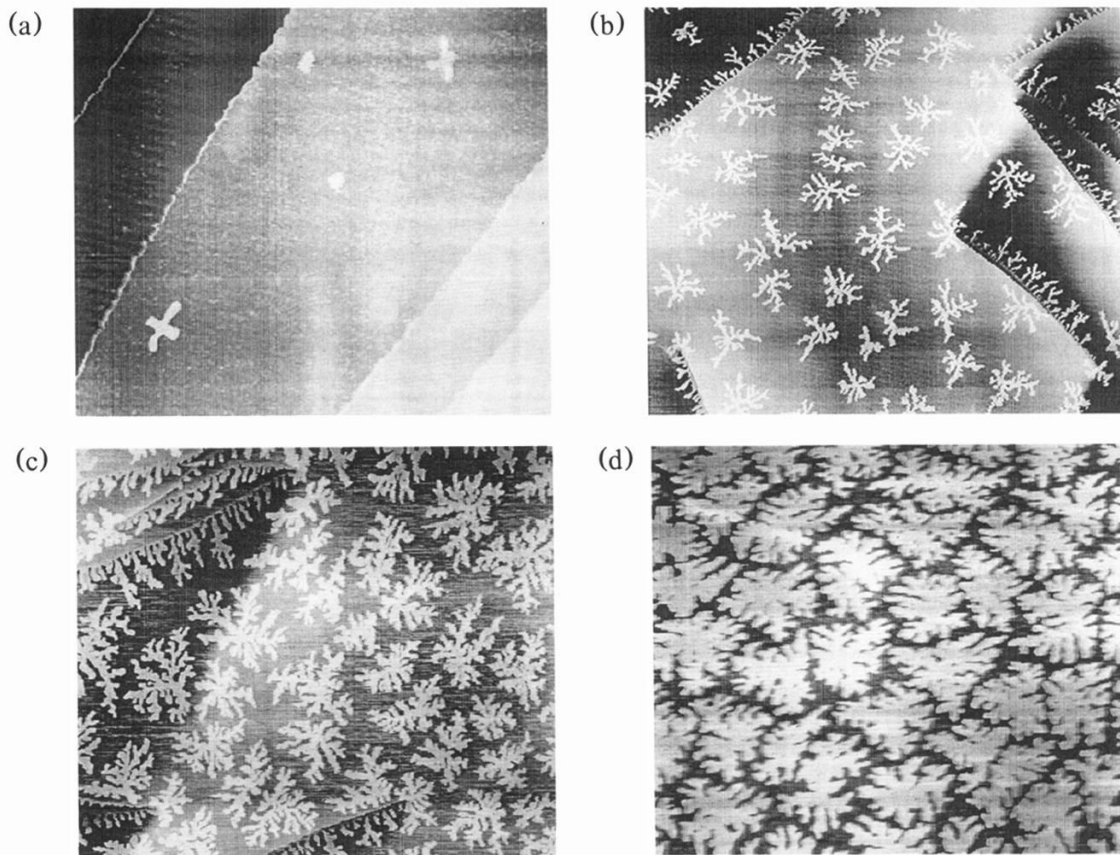


FIG. 4. Graphs of $\log_{10}N(r)$ vs $\log_{10}R_g$ from, curve *a*, single dendrite grown at 0.2 ML/min, curve *b*, single dendrite grown at 2 ML/min, and curve *c*, averaged data from six dendrites grown at 0.2 ML/min. (Offsets in the graphs are artificial.)

В работе [Hwang R.Q., Schröder J., Günter G., Behm R.J. Fractal growth of two-dimensional islands: Au on Ru(0001) // Phys. Rev. Lett., 1991, v. 67, 23, pp. 3279-3282.] исследовались *in situ* методом СТМ начальные стадии роста Au на поверхности Ru(0001) при ТО с субмонослойными покрытиями. Наблюдалось образование 2D дендритных кластеров с размером $d \sim 0.01 \div 0.3$ мкм и фрактальной размерностью $D = 1.72 \pm 0.07$, что указывает на механизм ОДА. Образование наблюдаемых структур объясняется различием диффузии одиночных атомов по поверхности подложки и краевой диффузии атомов по периметру кластера. Термодинамическая неустойчивость таких структур проявляется при отжиге при температуре 650 К, который приводит к превращению дендритов в компактные кластеры.

ФРАКТАЛЬНАЯ СТРУКТУРА КЛАСТЕРОВ Au/ВОПГ – СТМ

Фрактальная обработка СТМ изображения по алгоритмуозёр

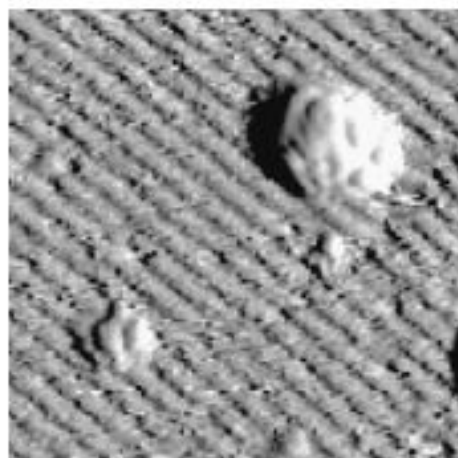
$$S \sim p^{2/D}, \quad \ln \sim 2/D \cdot \ln p$$

S - площадь, p - периметр кластера,

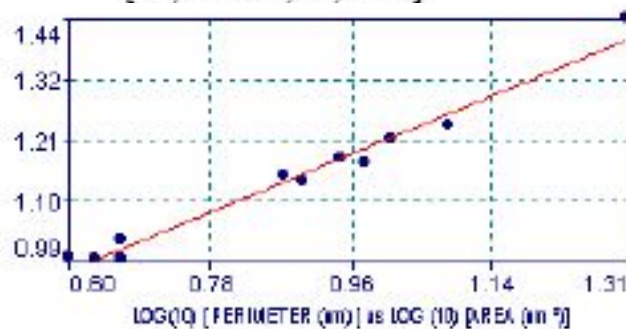
D - фрактальная размерность границы кластера ($1 \leq D \leq 2$)

Термическое Осаждение

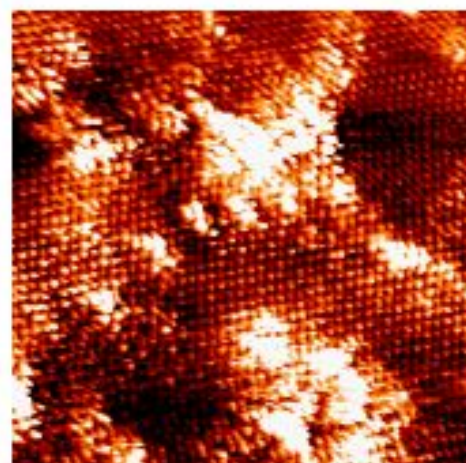
Импульсное Лазерное Осаждение



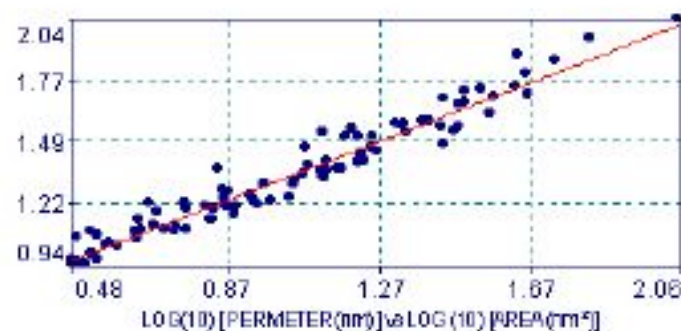
СТМ изображение ТО кластеров
Pd/TiO₂, скан 100×100 Å,
 $n=3.8 \times 10^{14}$ ат.см²
[Phys.Rev.B, 56, 1997]



ТО: $D \approx 1.02 \pm 0.02$

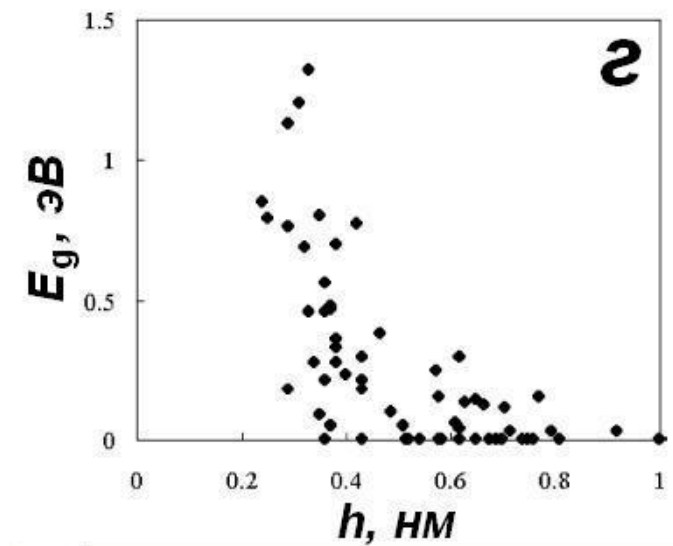
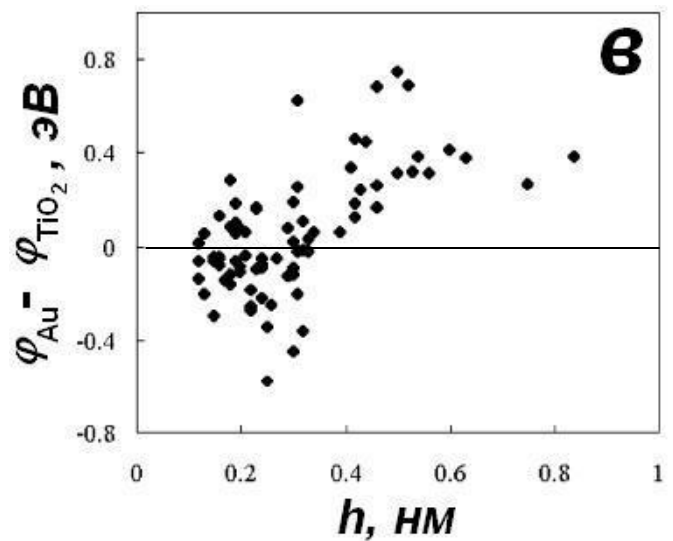
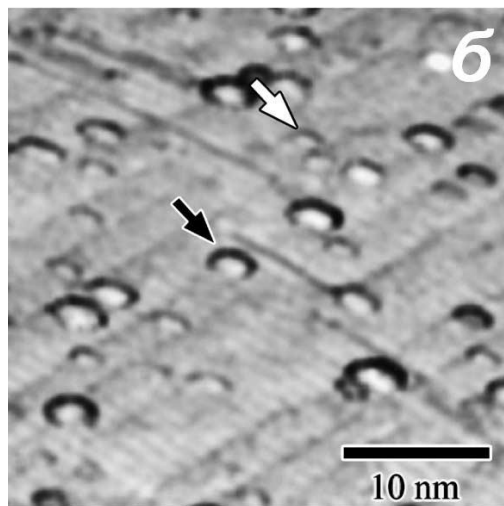
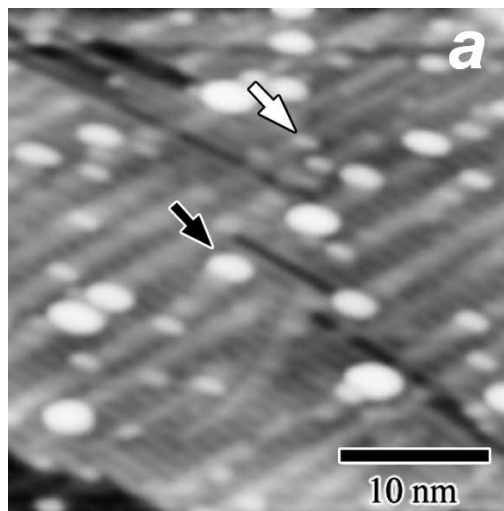


СТМ изображение ИЛО кластеров
Au/ВОПГ, скан 100×100 Å
 $n=0.58 \times 10^{14}$ ат/см².



ИЛО: $D \approx 1.33 \pm 0.08$

Измерение локальной работы выхода наноразмерных кластеров металла на поверхности подложки



СТМ изображения поверхности $\text{TiO}_2(110)$ с нанокластерами Au в топографическом режиме (а) и в режиме измерения работы выхода (б).

Экспериментальные зависимости разности работ выхода нанокластера Au и подложки $\text{TiO}_2(110)$ (в) и эффективной ширины запрещенной зоны E_g в нанокластере Au (з) от высоты кластера h , полученные методом СТС.

$$\frac{d \ln I}{dd} = - \frac{2\sqrt{m(\varphi_s + \varphi_t + eV)}}{\hbar}$$

[Y.Maeda, et al. // Appl.Surf.Sci. 222

(2004) p.409]